

# بررسی فلاؤنومئیدهای موجود در گلها و برگهای کراتاگوس های آذربایجان

## *Crataegus meyeri Pojark (Rosaceae)\** فلاؤنومئیدهای\*

دکتر حسین ناظمیه<sup>۱</sup> - دکتر جلیل افشار<sup>۲</sup>

**Title:** Studies on flavonoid contents in the leaves and flowers of Azarbaidjanian Crataeguses:II  
**Crataegus meyeri Pojark**

**Authors:** Hosseain Nazemiyeh<sup>1</sup>, Jalil Afshar<sup>2</sup>

**Abstract:** The air dried leaves, flowers and fruits of *Crataegus meyeri* were ground to powder and each sample was extracted with pethrolum ether (30-60), Chloroform and Methanol/Water mixture (70/30), respectively. Concentration of methanolic extract under reduced pressure at 50°C gave a brown syrup which after dillution with water, was reextracted with Chloroform, Ethylacetate and n-Butanol, respectively. Separation and purification of polyphenoles of these extractes were carried out using different techniques and yeilded 10 different compounds such as Hyperoside, Isoquercitroside, Vitexin, 2"-rhamnosyl-vitexin...,

**Key Words :***Crataegus meyeri Pojark*, *Hyperosid*, *Rutosid*, *Vitexin*, *Vitexin-rhamnosid*, *Acetyl-Vitexin rhamnosid*.

---

\*-نتایج نخست این مطالعات که بر روی ترکیبات شیمیایی *Crataegus curvisepala* انجام گرفته است در رفرانس ۱ درج شده است.

۱- استادیار دانشکده داروسازی دانشگاه علوم پزشکی تبریز.

۱- Assistant Professor, School of Pharmacy, Tabriz University of Medical Sciences.

۲- استاد دانشکده داروسازی دانشگاه علوم پزشکی تبریز.

2- Professor, School of Pharmacy, Tabriz University of Medical Sciences.

## خلاصه

پودر گلها و برگهای خشک کراتاگوس میه ری به ترتیب توسط حلالهای با قطبیت بالا روند عصاره گیری شد. عصاره های حاصل به کمک روشهای مختلف کروماتوگرافی مورد بررسی قرار گرفت و فلاونوئیدهای عمده موجود در این عصاره ها جدا و خالص سازی شد. ترکیبات بدست آمده توسط روشهای UV, <sup>13</sup>C-,IR, NMR, H-NMR<sup>1</sup> و هیدرولیز تعیین ساختمان گردیدند که از جمله آنها می توان به هیپروزید، ایزوکرسیتروزید، روتوزید، ویتكسین، ویتكسین رامنوزید و استیل ویتكسین رامنوزید اشاره نمود. همچنین ترکیبات فلاونوئیدی دیگر نیز بدست آمده است که ساختمان آنها در حال بررسی می باشد.

**گل واژگان :** هیپروزید، ویتكسین رامنوزید، استیل ویتكسین رامنوزید، روتوزید ایزوکرسیتروزید.

## مقدمه

نگرفته است و پژوهش حاضر می تواند نخستین گزارش در این مورد تلقی گردد. مطالعاتی که بطور همزمان بر روی اثرات فارماکولوژیک و ترکیبات شیمیایی *C.meyeri* در دانشکده داروسازی تبریز صورت پذیرفته نشان می دهد که عصاره های مختلف این گیاه در صورت استاندارد شدن قادرند فشار خون و آریتمی های قلبی را به مقدار قابل توجهی کاهش دهند (۱۴). بررسی حاضر که بخشی از آن در قالب طرح مصوب و با حمایتهای مادی معاونت محترم پژوهشی دانشگاه علوم پزشکی تبریز صورت گرفته است بطور عمده به جداسازی، خالص سازی و شناسایی ترکیبات فلاونوئیدی اختصاص دارد.

### بخش تجربی نمونه های گیاهی

گلها و سرشاخه های گلدار گیاه کراتاگوس میه ری در اواسط خرداد ماه و قبل از شکوفائی کامل گلها و میوه های آن در اواخر مهر ماه از منطقه گوشیر مراغه جمع آوری گردید. نمونه های هر باریومی توسط محققین مرکز تحقیقات سازمان جنگلها و مراتع شیمیایی و اثرات فارماکولوژیک *C.meyeri* صورت

گونه های مختلف کراتاگوس و عصاره های آنها به عنوان داروهای گیاهی در طب سنتی و طب نوین معروف بوده و عموماً در فرآورده های داروئی به دلیل داشتن اثر سداتیو، محافظ عروقی، افزایش دهنده جریان خون کرونری و پایین آورنده فشارخون وارد میگردند. این فرآورده ها با اصلاح عملکرد قلب در نارسائی های قلبی (مراحل I و II طبقه بنده NYHA)، نارسائی جریان خون کرونری و آریتمی های متوسط مورد مصرف دارند. گرچه اثرات ذکر شده ملاجم می باشند اما فعالیت های فارماکولوژیکی ذکر شده کاملاً مستدل و ثابت شده اند (۱۳-۱۴).

مناطق کوهستانی اطراف شهرهای مراغه و ارومیه از جمله رویش گاههای طبیعی کراتاگوس محسوب شده و گونه های مختلف این گیاه به خوبی در آب و هوای این مناطق رشد می نمایند. از جمله گونه های شایع و جالب توجه آن می توان به *C. curvisepala lindman* اشاره نمود. بررسی مقالات انتشار یافته نشان می دهد که تاکنون هیچ گونه مطالعه ای در مورد ترکیبات شیمیایی و اثرات فارماکولوژیک *C.meyeri* صورت

## جداسازی و خالص سازی فلاونوئیدهای عصاره استات اتیلی گلها

باقیمانده عصاره استات اتیلی (۹/۳ گرم) در مقدار کافی مтанول حل و در یخچال قرار داده شد. از این عمل ۱/۹ گرم ترکیب کریستالین بdst آمد. پس از جداسازی کریستالها، باقیمانده عصاره تحت دما و فشار کم تا حصول باقیمانده خشک و تبخیر گردید.

### کریستالهای حاصل مطابق روش قبل (۱)

مورد جداسازی و خالص سازی قرار گرفت و بدین ترتیب ۷۰ میلی گرم ترکیب II و ۱/۴ گرم ترکیب VI بdst آمد. سپس ۴ گرم از باقیمانده عصاره استات اتیلی در ۱۵۰ میلی لیتر مтанول حل و بر روی آن ۲۰ گرم سیلیکاژل مخصوص کروماتوگرافی ستونی (سیلیکاژل Merck با مش. ۴۰۰-۲۳۰) افزوده و کاملاً مخلوط شد. مтанول مخلوط به کمک اوپوراتور (دمای ۵۰°C) تا حصول پودر کاملاً خشک و روان تبخیر گردید و پودر حاصل بر روی ستون سیلیکاژل (۲۰ گرم سیلیکاژل با مش. ۴۰۰-۲۳۰) توسط گرادیان حلالهای استات اتیل \* - مтанول-آب (۱۰:۱:۰) → ۳/۵ : ۵ : ۱۰۰) کروماتوگرافی شد در مجموع ۵۰۰ فراکسیون (لوله) هر کدام به حجم ۱۰ میلی لیتر جمع آوری گردید. فراکسیون های حاصل بر روی پلیت سیلیکاژل (۰/۲۵ میلی متر) به کمک سیستم های حلال استات اتیل \*: مтанول: آب (۰/۵:۰/۰:۱) و استات اتیل \*: اسید فرمیک: آب (۱:۱:۸) مورد بررسی قرار گرفت و فراکسیون های یکسان مخلوط شد. بدین ترتیب در مجموع ۱۰ فراکسیون عده بdst آمد.

تهران و دانشکده کشاورزی تبریز شناسایی و نامگذاری گردیدند.

### مواد بکار رفته

در این پژوهش از حللهای ساخت کارخانه مرک آلمان جهت استخراج، کروماتوگرافی رجداسازی استفاده به عمل آمد.

### تجهیزات

دستگاه اسپکتروفوتومتر UV مدل Shimadzu 2100 دستگاه اسپکتروفوتومتر FT-IR مدل Shimadzu، دستگاه اسپکترومتر NMR ۸۰ MHz مدل Bruker AC-8.

### استخراج

مقدار ۳۹۵ گرم از پودر غنچه ها و ۳۰۰ گرم از برگ های خشک گیاه کراتاگوس میه ری به طور جداگانه مطابق روش ارائه شده در رفرانس (۱) توسط حللهای اتر پترول (۳۰-۶۰°C)، کلروفرم، مтанول ۷۰٪ و استات اتیل و بوتانول نرمال عصاره گیری گردید. حلال عصاره های حاصل تحت شرایط خلاء و دمای ۵۰°C تبخیر و باقیمانده خشک آنها (جدول ۱) جهت بررسی بیشتر در یخچال نگهداری شد. عصاره های حاصل به کمک سیستم های مختلف TLC بررسی و انواع دارای بیشترین مقدار ترکیبات فلاونوئیدی یعنی عصاره استات اتیل گلها و n-بوتانول برگها جهت مطالعه انتخاب شد.

سیستمهای حلال اسید استیک BAW (۱۵٪) و (۱۰٪) جداسازی و نهایتاً ۸ میلیگرم ترکیب II بدست آمد. باند واقع در ناحیه  $56/0 - 53/0 = Rf_1$  بر روی پلیت سیلیکاژل با استفاده از سیستم حلال استات اتیل \*- متانول- آب (۲:۱:۱) دو مرتبه کروماتوگرافی شد. بدین ترتیب طی دو بار پیشروی دو ترکیب ایزومر VI (۲۰ میلی گرم) و VII (۱۷ میلی گرم) از هم جدا شد.

فراکسیون های ۳ (لوله های ۸۰ تا ۲۰۰) و ۴ (لوله های ۲۰۱ تا ۲۵۰) بوسیله متانول کریستالیزه شد و پس از جداسازی کریستالهای ترکیب VI، محلول باقیمانده مجدداً بوسیله کروماتوگرافی بر روی ستون سیلیکاژل (سیستم حلال اولیه) و TLC پره پاراتیو بر روی سیلیکاژل (استات اتیل \*- متانول- آب، ۲:۱:۱) جداسازی و خالص سازی گردید. در نتیجه ۲۶۰ میلی گرم ترکیب VI، ۳۰ میلی گرم ترکیب VII و ۲۰ میلی گرم ترکیب III بدست آمد. همچنین از خالص سازی فراکسیون ۵ (لوله های ۲۵۱ تا ۴۰۰) توسط پلیت سیلیکاژل (استات اتیل \*- متانول- آب، ۵:۱۵:۱) ۱۰ میلی گرم ترکیب IV حاصل شد.

فراکسیون ۱ (لوله های ۱۰ تا ۵۵) بطور مجدد به کمک ستون سیلیکاژل با استفاده از سیستم های حلال کلروفرم \*- متانول- استات اتیل (۱:۱:۱ → ۳:۲:۰:۰) و کلروفرم \*- متانول (۵:۵ - ۲:۲:۰:۰) و TLC پره پاراتیو بر روی سیلیکاژل (سیستم حلال کلروفرم \*- متانول- استات اتیل (۱:۱:۱) مورد جداسازی و خالص سازی قرار گرفت. از مجموع عملیات فوق ۳۰ میلی گرم ترکیب VII، ۱۰ میلی گرم ترکیب I و ۷ میلی گرم ترکیب IX بدست آمد. فراکسیون ۲ (لوله های ۵۶ تا ۸۰) چندین مرتبه توسط متانول کریستالیزه گردید. کریستالهای حاصل (ترکیب II، ۱۴ میلی گرم) جمع آوری شده و محلول باقیمانده به کمک پلیت پره پاراتیو سلولز و سیستم حلال بوتانول \*: اسید استیک: آب (۲:۱:۱) BAW به سه باند عمدۀ با مقادیر  $Rf_2 = ۰/۵۳ - ۰/۶۴$ ،  $Rf_1 = ۰/۶۴ - ۰/۷۷$ ،  $Rf_3 = ۰/۷۷ - ۰/۸$  تقسیم شد. باند واقع در نتیجه  $Rf_3 = ۰/۷۷ - ۰/۸$  بوسیله سیستم حلال استات اتیل \*- هگزان- متانول- آب (۱:۵:۵:۰:۰) ۹٪ بروی پلیت سیلیکاژل کروماتوگرافی شد و در نتیجه ۱۰ میلی گرم ماده V بدست آمد. باند واقع در  $Rf_2 = ۰/۶۴ - ۰/۷۷$  به کمک پلیت پره پاراتیو سلولز و

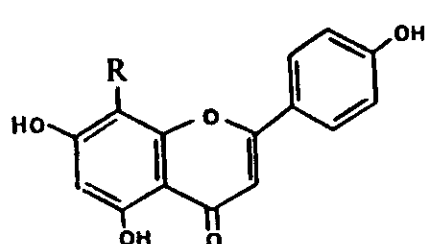
جدول ۱- باقیمانده خشک عصاره های مختلف گلها و برگهای کراتاگوس میه ری بر حسب گرم و نحوه توزیع فلاونوئیدها در آنها

نحوه توزیع فلاونوئیدها		نحوه توزیع فلاونوئیدها	نحوه توزیع فلاونوئیدها (%)	نحوه توزیع فلاونوئیدها	نوع عصاره
برگ (۳۰۰ گرم)				باقیمانده خشک (٪)	
-	۱/۴۰۲	-	-	۱/۹۷۸	اتر پترولی
+	۲/۱۱۳	+	+	۲/۷۱۲	کلروفرمی
+++	۸/۲۵۶	++++	-	۹/۳۱۵	استات اتیلی
++++	۱۷/۵۹۸	+++	+++	۲۶/۱۰۷	بوتانولی

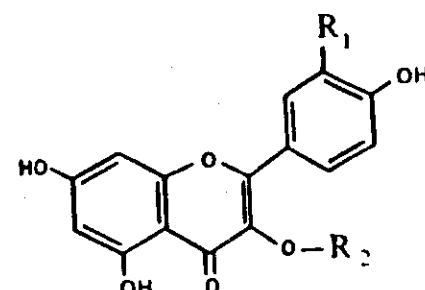
اسید استیک : آب (فاز فوقانی ۵ : ۱ : ۴\*) BAW خالص سازی گردید و ۲۰ میلی گرم ترکیب IV حاصل شد. فراکسیون ۴ (لوله های ۱۰۰ تا ۱۴۰) به کمک مخلوط متانول - استات اتیل \* (۳ : ۳ : ۷) کریستالیزه و ۰.۳۰ میلی گرم ترکیب IV بدست آمد. از تکرار عملیات فوق بر روی فراکسیون ۵ (لوله های ۱۴۱ تا ۲۲۰) دو ترکیب IV (۵۰ میلی گرم) و VII (۸۵ میلی گرم) حاصل گردید. ونهایتاً از کروماتوگرافی فراکسیون ۶ (لوله های ۲۲۱ تا ۴۰۰) مجدداً ۲۰ میلی گرم ترکیب VIII و ۲۵ میلی گرم ترکیب X بدست آمد.

### جداسازی فلاونوئیدهای عصاره بوتانولی برگها

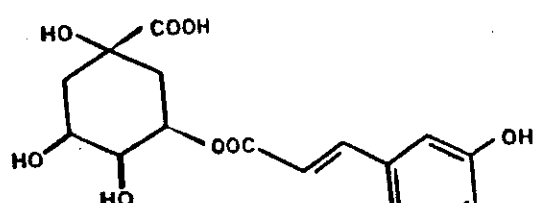
۶ گرم از باقیمانده خشک عصاره بوتانولی برگها به کمک متانول حل و بر روی ۳۰ گرم سیلیکاژل جذب گردید. سپس پودر حاصل توسط گرادیان حللاهای استات اتیل \* - متانول - آب (۱۳۰ : ۴۵ : ۲۵ → ۷ : ۱ : ۰) بر روی ۳۰۰ گرم سیلیکاژل کروماتوگرافی و در مجموع ۸ فراکسیون عمده بدست آمد. از کریستالیزاسیون فراکسیون ۲ (لوله های ۳۰ تا ۵۰) ۱۰ میلی گرم ترکیب II تولید شد. فراکسیون ۳ (لوله های ۵۱ تا ۱۰۰) بوسیله کاغذ واتمن شماره ۳ و سیستم حلal بوتانول نرمال \* :



- I ) R = H.
- II ) R = Glu.
- III ) R = Acetyl (4\*), Rha-O-(1→2)Glu.
- IV ) R = Rha-O-(1→3)Glu



- |        |                             |                     |
|--------|-----------------------------|---------------------|
| V )    | R <sub>2</sub> = H          | R <sub>1</sub> = OH |
| VI )   | R <sub>2</sub> = Glucosyl   | R <sub>1</sub> = OH |
| VII )  | R <sub>2</sub> = Galactosyl | R <sub>1</sub> = OH |
| VIII ) | R <sub>2</sub> = Rutinosyl  | R <sub>1</sub> = OH |
| IX )   | R <sub>2</sub> = H          | R <sub>1</sub> = H  |



X

+ تری کلرور آلمینیوم : ۳۸۱/۲ و ۳۴۶/۶ و ۳۴۶/۴ و ۳۰۱/۸ و ۲۷۴/۸ و ۳۰۱/۴

+ تری کلرور آلمینیوم / اسید کلریدریک : ۳۸۱/۲ و ۳۴۶/۶ و ۳۰۱/۴ و ۲۷۴/۸ و ۳۰۱/۸

+ استات سدیم : (بدون تجزیه) ۳۷۳ و (شانه) ۲۹۷ و ۲۷۴/۸

+ استات سدیم / اسید بوریک : ۳۳۵/۱ و (شانه) ۳۰۱ و ۲۶۷

**طیف NMR, IR, UV**

ترکیبات بدست آمده در متانول حل و طیف UV آنها مطابق روش های استاندارد (۱۵) تهیه شد. طیف H-NMR <sup>1</sup> نمونه ها به کمک حلال DMSO-d<sub>6</sub> و طیف C-NMR <sup>13</sup> نمونه ها به کمک حلال CD<sub>3</sub>OD و طیف IR آنها توسط دیسک KBr تهیه گردید.

**هیدرولیز**

**طیف (δppm) <sup>1</sup>H-NMR**

حدود ۲ میلی گرم از نمونه مورد آزمایش در چند قطره متانول حل و توسط روش های استاندارد، هیدرولیز (تام و ترتیبی) گردید (۱۶). ژنین حاصل به کمک اتر اتیلیک استخراج و محلول هیدرولیز تحت خلاء و دمای کم تا خشک شدن کامل تبخیر شد. باقیمانده خشک به کمک متانول حل و در حضور شاهد قندها بر روی پلیت سلولز (سلولز F آماده مرک، ضخامت ۰/۲۵ میلی متر) به کمک سیستم های حلال بوتانول \* نرمال : بنزن : پیریدن : آب (۱:۳:۵:۵\*) و بوتانول نرمال \* : اسید استیک : آب (۱:۴:۵) فاز فوقانی) کروماتوگرافی شد. در این بررسی ها از معرف آنلین فنالات (۱۶) و معرف تیمول (۱۷) جهت آشکار سازی قندها استفاده گردید.

**ترکیب II :****طیف UV (λ<sub>max.</sub> nm)**

متانول : ۳۳۱/۲ و (شانه) ۳۰۰/۴ و ۳۰۰/۶ و ۲۶۷/۶

+ متیلات سدیم : (بدون تجزیه) ۳۹۳/۲ و شانه ۲۷۹/۶ و ۳۳۰/۶

+ تری کلرور آلمینیوم : ۳۸۲/۴ و ۳۴۲/۲ و ۳۸۲/۶ و ۳۰۲/۶

+ تری کلرور آلمینیوم / اسید کلریدریک : ۳۸۲/۴ و ۲۷۷/۲

۳۰۲/۶ و ۳۴۲/۲ و ۲۷۷/۲ و ۳۰۲/۶ و ۳۴۲/۲

**نتایج****ترکیب I :****طیف UV (λ<sub>max.</sub> nm)**

متانول : ۳۳۴/۲ و (شانه) ۳۰۰ و ۲۶۷/۲ و ۳۰۰ و متیلات سدیم : (بدون تجزیه) ۳۹۰/۸ و ۳۲۲/۸ و ۲۷۴/۲

- + تری کلرور آلومینیوم / اسید کلریدریک: ۴۲۳/۴۸ و (شانه) ۲/۷ و ۳۰۳/۲ و ۲۷۳/۷ و ۳۸۷ و ۳۲۱ و ۳۲۲/۲
- + استات سدیم : (بدون تجزیه) ۲۷۲/۲ و ۳۰۳/۶ و ۳۷۹/۸ و ۳۰۳/۶ و ۳۴۲/۲ و ۳۰۲/۶ و ۲۷۷/۲
- + استات سدیم : (بدون تجزیه) ۲۷۹
- + استات سدیم / اسید بوریک: ۳۲۶/۸ و ۳۲۸ و (شانه) ۲۹۳ و ۲۶۱/۲

**طیف (IR (KBr cm<sup>-1</sup>)**

۸۴۰ و ۱۱۸۰ و ۱۳۶۰ و ۱۵۰ و ۱۵۷۰ و ۱۶۱۵ و ۱۶۶۰ و ۳۰۰۰-۳۴۰۰ و ۱۷۲۱ و ۱۶۶۰.

۱۱۸۰ و ۱۵۱۵ و ۱۵۷۰ و ۱۶۱۰ و ۱۶۶۰ و ۳۲۰۰-۳۴۵۰

**طیف (<sup>1</sup>H-NMR(δppm)**

۱۳/۱۵ δ یک پیک تک شاخه یک پروتون ۵OH

۸/۸ δ یک پیک دو شاخه (ثابت کوپلاز ۵/۵ هرتز) معادل دو پروتون، ۶ و H<sup>2</sup>

۶/۹۲ δ یک پیک دو شاخه (ثابت کوپلاز ۵/۵ هرتز) معادل ۲ پروتون، ۵ و H<sup>3</sup>

۸/۶/۷ δ یک پیک تک شاخه معادل پروتون H<sup>3</sup>

۶/۲۵ δ یک پیک تک شاخه معادل یک پروتون ۶ H

۵/۰۵ δ یک پیک تک شاخه معادل یک پروتون H<sup>3</sup> (رامنوز)

۸/۴/۹ δ یک پیک تک شاخه معادل یک پروتون H<sup>3</sup> (گلوکز)

۱/۹۷ δ یک پیک تک شاخه معادل سه پروتون CH<sup>3</sup> (استیل)

۰/۸۳ δ یک پیک دو شاخه (ثابت کوپلاز ۲ هرتز) معادل سه پروتون CH<sup>3</sup> (رامنوز)

**طیف (<sup>1</sup>H-NMR(δppm)**

۱۳/۲ δ یک پیک تک شاخه معادل یک پروتون ۵-OH

۸/۰۲ δ یک پیک دو شاخه (ثابت کوپلاز ۵/۵ هرتز) معادل ۲ پروتون، ۶ و H<sup>2</sup>

۶/۹ δ یک پیک دو شاخه (ثابت کوپلاز ۵/۵ هرتز) معادل دو پروتون، ۵ و H<sup>3</sup>

۶/۶۷ δ یک پیک تک شاخه معادل یک پروتون H<sup>3</sup>

۶/۲۷ δ یک پیک تک شاخه معادل یک پروتون ۶ H

۴/۷۳ δ یک پیک دو شاخه (ثابت کوپلاز ۱۱ هرتز) معادل یک پروتون H<sup>1</sup>

**ترکیب III :**

**طیف UV (λ.max. nm)**

متانول: ۳/۴ و ۳۳۱/۴ و (شانه) ۱/۸ و ۳۰۱ و ۲۶۸/۶

متیلات سدیم : (بدون تجزیه) ۳۹۲ و ۳۳۰ و ۲۷۹/۱

+ تری کلرور آلومینیوم : ۴۲۳/۴۸ و (شانه) ۳۰۳/۲ و ۲۷۳/۷

+ تری کلرور آلمینیوم / اسید کلریدریک: ۳۸۵/۸	ترکیب IV
و ۲۷۶/۴ و ۳۰۴/۲ و ۳۴۳/۱	طیف UV ( $\lambda_{\text{max.}}$ nm)
+ استات سدیم: (بدون تجزیه) ۳۸۵/۸ و ۳۰۹/۱ و ۲۷۹/۲	متانول: ۲۶۹/۸ و (شانه) ۳۰۱/۲ و ۳۳۱/۸
+ استات سدیم / اسید بوریک: ۳۲۰ و ۳۳۰/۲	+ متیلات سدیم: (بدون تجزیه) ۳۹۵ و ۳۲۹ و ۲۷۹/۸
+ استات سدیم / اسید بوریک: ۳۲۰ و ۳۳۰/۲	+ تری کلرور آلمینیوم: ۳۸۵/۸ و ۳۴۷/۶ و ۳۸۵/۸ و ۳۰۴/۲

جدول ۲ - جایگاهی های شیمیایی کربن های ترکیبات VI-VIII و IV و VI-VIII ابر حسب ppm (حلال DMSO-<sub>d6</sub>)

شماره کربن	II	III(I)	VI	VII	VIII
۱	۱۶۳/۸۲۳	۱۳/۷۴۰	۱۵۶/۳۰۴	۱۵۶/۲۰۱	۱۵۶/۳۹۶
۲	۱۰۲/۴۶۶	۱۲/۱۰۴	۱۳۳/۸۷۵	۱۳۳/۵۶۵	۱۳۳/۳۱۴
۳	۱۸۴/۵	۱۲/۹۰۹	۱۷۷/۴۸۹	۱۷۷/۵۰۹	۱۷۷/۳۲۷
۴	۱۶۱/۹۱	۲۱/۱	۱۶۱/۲۲۷	۱۶۱/۱۳۰	۱۶۱/۱۶۹
۵	۹۸/۲۴۴	۱/۹۶۰	۹۸/۶	۹۸/۶۰۴	۹۸/۶۹۴
۶	۱۶۲/۵۷	۱۱/۹۷۴	۱۶۴/۱۴۸	۱۶۴/۱۳۴	۱۶۴/۱۴۴
۷	۱۰۴/۵۱۸	۱۱/۳۸۵	۹۳/۵۱۶	۹۳/۸۷۵	۹۳/۵۴۹
۸	۱۵۸/۵۰۴	۱۲/۵۰۲	۱۵۶/۳۰۴	۱۵۶/۲۰۱	۱۵۶/۳۹۶
۹	۱۰۴/۰۷۶	۱/۵۲۳	۱۰۴/۹۳۸	۱۰۴/۸۷۵	۱۰۴/۹۱۸
۱۰	۱۲۱/۷۵	۱۳/۳۴۳	۱۲۱/۱۴۷	۱۲۱/۰۶	۱۲۱/۱۶۹
۱۱	۱۲۸/۴۹۳	۱/۸۸۰	۱۱۵/۴۰۸	۱۱۵/۲۷۱	۱۱۵/۲۲۷
۱۲	۱۱۵/۸۲۲	۱/۹۸۹	۱۴۴/۷۹۲	۱۴۴/۸۹۲	۱۴۴/۷۰۳
۱۳	۱۶۰/۳۹۰	۱۰/۴	۱۴۸/۴۴۷	۱۴۸/۳۶۷	۱۴۸/۳۵۷
۱۴	۱۱۵/۴۹۲	۱/۹۸۹	۱۱۸/۴۵۲	۱۱۸/۹۰۴	۱۱۸/۲۷۰
۱۵	۱۲۸/۸۳۱	۱۱۷/۴۱	۱۲۱/۹۶۱	۱۲۱/۶۶۰	۱۲۱/۵۶۰
۱۶	۷۳/۳۹۸	۷۴/۴۹۸	۱۰۱/۹۶۰	۱۰۰/۸۶۰	۱۰۱/۲۲۲
۱۷	۷۰/۴۷۰	۷۱/۰۱	۷۱/۴۵۸	۷۷۲/۱۸۴	۷۰/۹۰۹
۱۸	۷۸/۴۹۵	۷۱۸۰۳	۷۳/۴۰۴	۷۴/۰۰۴	۷۷/۲۰۱
۱۹	۷۰/۴۱	۵۶/۱۱	۵۷/۹۰۱	۵۷/۸۴۹	۷۰/۱۰۳
۲۰	۸۱/۴۱	۸۲/۰۸	۷۵/۴۲۱	۷۵/۷۳۱	۷۶/۰۰۸
۲۱	۶۱/۲۹۵	۶۲/۰۳	۶۰/۱۷۲	۶۰/۰۵۱	۶۲/۵۹۷
۲۲		۱۰/۰۳			۱۰۰/۸۸۱
۲۳		۷/۴			۷۰/۴۴۳
۲۴		۷/۰			۷۱/۴۸۲
۲۵		۷۱/۴۲۷	-		۷۴/۰۶۹
۲۶		۵۸/۱۸۹			۵۸/۱۶۹
۲۷		۱۷/۷۸۸			۱۷/۸۲۲

متانول : ۳۷۱ و (شانه) ۳۰۰ و (شانه) ۲۶۹ / ۲  
و ۲۵۶

+ متیلات سدیم : (تجزیه) ۳۲۸ / ۲ و (شانه) ۲۹۷ / ۹  
و ۲۷۴ / ۲

+ تری کلور آلومینیوم : ۴۵۵ و ۳۳۱ / ۲ و ۲۷۰

+ تری کلور آلومینیوم / اسید کلریدریک : ۴۲۹ / ۳ و ۲۶۵

+ استات سدیم : (تجزیه) ۳۸۸ / ۱ و ۳۲۱ / ۸ و ۲۶۸ / ۱

+ استات سدیم / اسید بوریک : ۳۸۵ / ۴ و ۳۰۰ و ۲۵۹ / ۵

**طیف (IR (KBr cm<sup>-1</sup>)**  
۱۶۶۴ و ۱۶۱۳ و ۱۵۲۳ و ۱۳۱۹ و ۱۱۶۸ و ۸۴۲  
۳۰۰۰-۳۶۰۰

**طیف (¹H-NMR(δppm)**  
۷/۶۵ ۸ یک پیک دو شاخه (ثابت کوپلاز ۵ / ۵ هرتز) معادل یک پروتون H ۲

۷/۵۵ ۸ یک پیک دو شاخه (ثابت کوپلاز ۵ / ۵ هرتز) معادل یک پروتون H ۲ / ۵ هرتز

۶/۸۱ ۸ یک پیک دو شاخه (ثابت کوپلاز ۵ / ۵ هرتز) معادل یک پروتون H ۵ هرتز

۶/۳ ۸ یک پیک دو شاخه (ثابت کوپلاز ۵ / ۵ هرتز) معادل یک پروتون H ۸ هرتز

۶/۱ ۸ یک پیک دو شاخه (ثابت کوپلاز ۵ / ۵ هرتز) معادل یک پروتون H ۶ هرتز

**طیف (IR (KBr cm<sup>-1</sup>)**  
۱۶۶۰ و ۱۴۶۰ و ۱۵۱۰ و ۱۵۷۰ و ۱۶۱۰ و ۱۶۰۰  
۳۰۰۰-۳۵۰۰

**طیف (¹H-NMR(δppm)**  
۷/۹۵ ۸ یک پیک دو شاخه (ثابت کوپلاز ۵ / ۵ هرتز) معادل دو پروتون H ۲ و H ۳

۶/۹۵ ۸ یک پیک دو شاخه (ثابت کوپلاز ۵ / ۵ هرتز) معادل دو پروتون H ۳ و H ۵ هرتز

۶/۳۲۴ ۸ یک پیک تک شاخه معادل یک پروتون H ۶ هرتز

۵/۰۷۴ ۸ یک پیک تک شاخه معادل یک پروتون H ۸ هرتز

۴/۹۶ ۸ یک پیک تک شاخه معادل یک پروتون H (گلوکز) هرتز

۰/۶۹ ۸ یک پیک دو شاخه (ثابت کوپلاز ۷ هرتز) معادل سه پروتون CH<sub>3</sub> (رامنوز)

**طیف (¹³C-NMR :**

به جدول ۲ مراجعه شود.

**ترکیب V:**

**طیف (UV (λ.max. nm)**

۶/۸ ۸ یک پیک دو شاخه (ثابت کوپلاز ۸/۵ هرتز)

معادل یک پروتون، H<sub>5'</sub>

۶/۴ ۸ یک پیک دو شاخه (ثابت کوپلاز ۲/۵ هرتز)

معادل یک پروتون، H<sub>8'</sub>

۶/۲ ۸ یک پیک دو شاخه (ثابت کوپلاز ۲/۵ هرتز)

معادل یک پروتون، H<sub>6'</sub>

۵/۴ ۸ یک پیک دو شاخه (ثابت کوپلاز ۷/۵ هرتز)

معادل یک پروتون، H<sub>1'</sub> (گالاکتوز)

ترکیب: VI

طیف (λ.max. nm)

متانول: ۳۵۸/۲ و (شانه) ۳۰۰ و (شانه) ۲۶۸/۴ و

۲۵۶/۸

+ متیلات سدیم: (بدون تجزیه) ۴۰۶/۸ و ۳۲۸ و

۲۷۱/۴

+ تری کلرور آلمینیوم: (بدون تجزیه) ۴۳۳/۸ و ۳۰۳ و

۲۷۳/۷

+ تری کلرور آلمینیوم / اسید کلریدریک: ۳۹۹ و

۲۶۷/۲ و ۳۰۰ و (شانه) ۳۶۰

+ استات سدیم: (بدون تجزیه) ۳۸۷ و ۳۲۱ و

۲۷۲/۲

+ استات سدیم / اسید بوریک: ۳۷۵ و (شانه) ۲۹۳ و

۲۶۱/۲

طیف : <sup>13</sup>C-NMR

به جدول ۲ مراجعه شود.

ترکیب: VII

طیف (λ.max. nm)

متانول: ۳۵۹/۱ و (شانه) ۳۰۰ و (شانه) ۲۶۷/۷ و

۲۵۶/۸

+ متیلات سدیم: (بدون تجزیه) ۴۰۶ و ۳۲۸ و

۲۷۱/۹

+ تری کلرور آلمینیوم: ۴۲۳/۱ و (شانه) ۳۰۳/۲ و

۲۷۲/۸ و

+ تری کلرور آلمینیوم / اسید کلریدریک: ۳۹۹ و

۳۶۰ و (شانه) ۳۰۰ و ۲۶۷/۲ و

+ استات سدیم: (بدون تجزیه) ۳۸۷ و ۳۲۱ و

۲۷۲/۲

+ استات سدیم / اسید بوریک: ۳۷۷ و (شانه) ۲۹۱ و

۲۶۱/۲

طیف (IR (KBr cm<sup>-1</sup>)

۱۱۵۰ و ۱۳۶۵ و ۱۴۴۷ و ۱۵۰۵ و ۱۶۰۶ و

۳۰۰۰-۳۴۰۰ و ۱۶۵۷

طیف (<sup>1</sup>H-NMR(δppm)

۸ ۱۲/۶ ۸ یک پیک تک شاخه معادل یک پروتون

۵ OH

۷/۶ ۸ یک پیک دو شاخه دو شاخه (ثوابت کوپلاز

H<sub>6'</sub> و ۸/۵ هرتز) معادل یک پروتون، H<sub>5'</sub>

۷/۵۵ ۸ یک پیک دو شاخه (ثابت کوپلاز ۲/۵ هرتز) معادل یک پروتون، H<sub>1'</sub>

www.SID.ir

متانول: ۳۵۶/۸ و (شانه) ۲۹۹/۸ و (شانه) ۲۶۴/۲

و ۲۵۵/۸

طیف (IR (KBr cm<sup>-1</sup>) : ۳۰۰  
- ۳۴۰۰ و ۱۶۲۰ و ۱۵۱۵ و ۱۴۲۰ و ۱۱۵۰ و ۸۸۵

+ متیلات سدیم : (بدون تجزیه) ۴۱۱/۴ و ۴۱۱/۲ و ۳۲۵/۲

و ۲۷۱/۱

طیف (<sup>1</sup>H-NMR(δppm) :

۳۰۲/۶ و ۳۰۲/۳ یک پیک تک شاخه معادل یک پروتون

۵ OH

۷/۶۸ یک پیک دو شاخه دو شاخه (ثابت کوپلاز

۸/۵ و ۲/۵ هرتز) معادل یک پروتون، H<sub>۶</sub>

۷/۵۲ یک پیک دو شاخه (ثابت کوپلاز ۲/۵ هرتز)

۲ هرتز) معادل یک پروتون، H<sub>۲</sub>

۶/۸۳ یک پیک دو شاخه (ثابت کوپلاز ۸/۵ هرتز)

معادل یک پروتون، H<sub>۵</sub>

۶/۴ یک پیک دو شاخه (ثابت کوپلاز ۲/۵ هرتز)

معادل یک پروتون، H<sub>۸</sub>

۶/۲۱ یک پیک دو شاخه (ثابت کوپلاز ۲/۵ هرتز)

معادل یک پروتون، H<sub>۶</sub>

۵/۴ یک پیک دو شاخه (ثابت کوپلاز ۷/۵ هرتز)

معادل یک پروتون، H<sub>۱</sub> (گلوکز)

طیف (IR (KBr cm<sup>-1</sup>) :

۱۵۰۰ و ۱۴۵۰ و ۱۳۶۰ و ۱۲۰۰ و ۸۲۰

۳۱۰۰-۳۴۰۰ و ۱۶۶۰ و ۱۶۱۰

طیف (<sup>1</sup>H-NMR(δppm) :

۷/۵۲ یک توده چند شاخه (تفکیک نشده)

معادل دو پروتون، H<sub>۲</sub> و H<sub>۳</sub>

۶/۷۵ یک پیک دو شاخه دو شاخه (ثابت کوپلاز

۵/۵ هرتز) معادل یک پروتون، H<sub>۵</sub>

۶/۳۸۵ یک پیک دو شاخه (ثابت کوپلاز ۵/۵ هرتز)

۶ هرتز) معادل یک پروتون، H<sub>۶</sub>

۲/۵ ۱۸۹ یک پیک دو شاخه (ثابت کوپلاز ۵/۵ هرتز)

۶ هرتز) معادل یک پروتون، H<sub>۶</sub>

۵/۳۳ یک پیک دو شاخه (ثابت کوپلاز ۷ هرتز)

معادل یک پروتون، H<sub>۱</sub> (گلوکز)

طیف (<sup>13</sup>C-NMR) :

به جدول ۲ مراجعه شود.

ترکیب VIII:

طیف UV (λ.max. nm)

۴/۳۹۱ ۸ یک پیک تک شاخه معادل یک پروتون،

معادل یک پروتون، H<sub>8</sub>

۸ ۶/۲ یک پیک دو شاخه (ثابت کوپلاز ۲ هرتز)

معادل یک پروتون، H<sub>6</sub>

۳۹۱ ۸ یک پیک تک شاخه معادل یک پروتون،  
H<sub>1</sub> (رامنوز)

۹۸۸ ۰ ۸ یک پیک دو شاخه (ثابت کوپلاز ۵ هرتز)

معادل سه پروتون، CH<sub>3</sub> (رامنوز)

### طیف <sup>13</sup>C-NMR :

به جدول ۲ مراجعه شود.

ترکیب X	طیف UV (λ.max. nm)	متانول ۳۲۵/۱ و ۲۹۸/۵
---------	--------------------	----------------------

### ترکیب IX:

#### طیف UV (λ.max. nm)

متانول: ۳۶۶/۸ و (شانه) ۳۲۵/۸ و (شانه) ۲۹۵ و ۲۶۵  
و (شانه) ۲۵۴

+ متیلات سدیم: (تجزیه در زمان طولانی) ۴۲۰ و ۳۱۶ و ۲۹۷

+ تری کلرور آلومینیوم: ۴۲۲/۲ و ۴۲۲/۶ و (شانه) ۳۹۹ و ۳۰۵ و ۲۶۸ و (شانه) ۲۶۰

+ تری کلرور آلومینیوم / اسید کلریدریک: ۴۲۲ و ۳۴۹ و (شانه) ۳۰۵ و ۲۶۸ و (شانه) ۲۵۶/۷

+ استات سدیم: (بدون تجزیه) ۳۹۴/۸ و ۳۱۱/۴ و ۲۷۴/۲

+ استات سدیم / اسید بوریک: ۳۶۹ و (شانه) ۲۹۷ و ۲۶۵

### طیف H-NMR(δppm):

۷/۹ ۸ یک پیک دو شاخه (ثابت کوپلاز ۸ هرتز)  
معادل دو پروتون، H<sub>۲</sub> و H<sub>۳</sub>

۸/۱۳ ۸ یک پیک دو شاخه دو شاخه (ثابت کوپلاز ۸ هرتز) معادل دو پروتون، H<sub>۵</sub> و H<sub>۳</sub>

طیف مطالعاتی که برای نخستین بار در مورد پلی فنل های کراتاگوس میه ری انجام شد مشخص گردید که بطور عمده دو دسته از ترکیبات فلاونوئیدی در این گونه یافت می شوند. دسته ای از این ترکیبات دارای هسته آپی ژنین بوده و مشتقات C-گلیکوزید آن تعلق دارند و دسته دیگر جزو مشتقات کرستین می باشند. بررسی طیف های UV ترکیب I وجود گروههای هیدروکسیل را در موقعیت های C۵ و C۷ و C۱۵ به اثبات رسانده (۱۵) و یافته های حاصل از طیف H-NMR این ترکیب حضور پروتونها C۶ و C۲ و C۵ و C۴ و در نتیجه استخلاف متقارن حلقة B (پیکهای دو شاخه واقع در ppm ۸۷/۱۵ و ۸۶/۹ ppm) و حضور پروتون C۳ (۸۶/۶۷ و پروتونهای C۸ و C۶ حلقة A (پیکهای دو شاخه واقع در ppm ۸۶/۴۵ و ۸۶/۲۷ ppm) را تایید می نماید (۱۶ و ۱۵). لذا با توجه به اطلاعات فوق ساختمن ترکیب I آپی ژنین تعیین گردید. بررسی طیف های UV ترکیبات I-II و مقایسه آنها با طیف های UV ترکیب I وجود تشابه کلی میان طیف های

کربن ۸ به میزان تقریبی ۱۱ ppm به طرف میدانها ضعیف تر مoid-C-گلیکوزیلاسیون در این کربن می باشد. پیک های مربوط به کربن های قند نیز بخوبی با اطلاعات منتشر شده مطابقت داشته و حضور قند گلوکز را به اثبات می رساند (۱۸-۲۰) عدم هیدرولیز ترکیب II در شرایط گوناگون و ایزو مریزاسیون آن با دیگر ساختمان C-گلیکوزیدی را تایید نمی نماید. لذا با توجه به اطلاعات بدست آمده می توان ساختمان آپی ژنین را برای هسته فلاونی، گلوکز را برای قسمت قندی و نهایتاً وینکسین را برای ترکیب II پیشنهاد نمود. از طرف دیگر مقایسه طیف های  $^{13}\text{C-NMR}$  و  $^1\text{H}$  با ترکیب IV (وینکسین) الگوی استخلاف مشابهی را برای هسته فلاونوئیدی آن نشان می دهد و تنها اختلاف موجود مربوط به حضور پیک پروتونهای متیل (۸۰/۶۱ ppm) و پروتون آنومریک (۸۵/۰۷۴ ppm) قند رامنوز در ترکیب IV می باشد. در این طیف پیک مشاهده شده در  $^{13}\text{C-NMR}$  ۸۴/۹۶ ppm در اصل به دلیل کوپلاز بنزیلیک (پروتون آنومریک گلوکز، ثابت کوپلاز حدود ۱۰ هرتز) دو شاخه بوده اما به دلیل همپوشانی یکی از شاخه های آن با پیک پروتون آنومریک رامنوز به صورت تک شاخه دیده می شود. از طرف دیگر این همپوشانی سبب افزایش انتگراسیون پیک  $^1\text{H}$  رامنوز شده است. با در نظر گرفتن اینکه سیگنانل پروتون آنومریک C-گلیکوزیدها در میدانهای بالاتری نسبت به O-گلیکوزیدها ظاهر می گردد و با توجه به میزان کوپلاز پروتون آنومریک گلوکز، ساختمان C-گلیکوزیدی ترکیب IV کاملاً به اثبات می رسد. از طرف دیگر محل ظهور پیک  $^1\text{H}$  نشانگر اتصال هیدروکسیل "۱ رامنوز به کربن "۲

این ترکیبات را نشان می دهد. در طیف NMR ترکیب II (ناحیه آروماتیک) دو پیک دو شاخه با ثابت کوپلاز ۸/۵ هرتز در ۵۶/۹ ppm و ۵۸/۰ ppm مشاهده می گردد که به ترتیب مربوط به  $\text{H}^{\text{III}}-5$  و  $\text{H}^{\text{III}}-6$  می باشد. پیک دیگری در ۸۶/۶۷ ppm مربوط به  $\text{H}^{\text{III}}-2$  در نهایت تک شاخه واقع در ۸۶/۲۰ ppm مربوط به  $\text{H}^{\text{I}}$  می باشد. تک شاخه بودن این پیک و همچنین عدم مشاهده پیک دیگر در ناحیه آروماتیک مoid استخلاف کربن ۸ می باشد. علاوه بر آن پیک ppm دو شاخه (ثبت کوپلاز ۱۱ هرتز) موجود در ۸۴/۷۳ (ناحیه آلفاتیک) حضور پروتون آنومریک قند را نشان می دهد و بزرگی ثابت کوپلاز آن نشانگر یک پروتون بنزیلیک و به عبارت بهتر یک پروتون آنومریک به حالت بتا در ترکیب II می باشد (۱۶ و ۱۸). لذا جسم مورد نظر بایستی به حالت C-گلیکوزیدی به مولکول قند اتصال یافته باشد. در طیف  $^{13}\text{C-NMR}$  پیک مشاهده شده در ضعیف ترین میدان یعنی ۸۱۸۴/۵ ppm مربوط به کربن گروه کربونیل بوده و پیک های موجود در ۸۱۶۰/۳۹۰ ppm و ۸۱۶۲/۵۷ ppm و ۸۱۶۱/۰۹ به ترتیب مربوط به کربن های ۵ و ۷ و ۴ است که در اثر هیدروکسیلاسیون به طرف میدان ضعیف جابجا شده اند. به دلیل عدم وجود استخلاف در کربن ۳، پیک مربوط به کربن ۲ بخوبی از پیک کربن ۹ تفکیک یافته و در میدانهای ضعیف تر ظاهر شده است لذا پیک کربن ۳ در ۸۱۰۲/۴۶۶ ppm، کربن ۸ در ۸۱۶۳/۸۲۳ ppm کربن ۹ در ۸۱۵۸/۵۰۳ ppm مشاهده می شود. دو پیک دو شاخه در ۸۱۲۸/۸۳۱ ppm و ۸۱۱۵/۸۳۲ ppm به ترتیب نشانگر کربن های (۵' و ۳') و (۶' و ۴') هستند. شیفت پیک

همانگونه که قبلاً اشاره شد دسته دیگر ترکیبات به مشتقات کرستین تعلق دارند. بررسی طیف های UV ترکیب V، حضور سیستم بسیار حساس به قلیا یعنی  $\alpha$  و  $\beta$  و  $\gamma$  تری هیدروکسی فلانون به همراه گروه هیدروکسیل -7- آزاد را در ساختمان این ترکیب به اثبات می رسانند. یافته های طیف  $^1\text{H-NMR}$  حضور سه پروتون در حلقه B و دو پروتون در حلقه A را تایید می نماید لذا می توان نتیجه گرفت که ترکیب V کرستین است. طیف های UV ترکیبات VI، VII، VIII مشابه یکدیگر و تقریباً مشابه کرستین (V) بوده و تنها اختلاف موجود ناشی از استخلاف هیدروکسیل کربن ۳ می باشد. طیف های  $^1\text{H-NMR}$  دو ترکیب VI و VII کاملاً یکسان است اما یافته های حاصل از هیدرولیز این دو ترکیب و بررسی ساختمان قندهای حاصل به کمک TLC (در حضور قندهای شاهد) و همچنین اطلاعات ناشی از طیف  $^{13}\text{C-NMR}$  وجود قند گالاكتوز را در ترکیب VI و گلوکز را در ترکیب VII نشان می دهد. بنابر این ترکیب VI که عمدۀ ترین فلانونیت م وجود در برگها و گلهای کراتاتاگوس میه ری است هیپروزید یا کرستین ۳- گالاكتوزید و ترکیب VII، ایروکرستروزید یا کرستین -۳- گلوکوزید می باشد.

طیف های  $^1\text{H-NMR}$  و  $^{13}\text{C-NMR}$  و یافته های حاصل از هیدرولیز (تام و ترتیبی) حضور قند روتنیزور را در ساختمان ترکیب VIII نشان می دهد بنابراین ترکیب مذبور روتوزید یا کرستین -۳- روتنیزول خواهد بود. علاوه بر موارد یاد شده ترکیب IX به عنوان کامفرول و ترکیب X به عنوان اسید کلروژنیک شناسایی شدند.

گلوکز می باشد (۲۰-۱۶). طیف  $^{13}\text{C-NMR}$  بخوبی ساختمان آپی ژنین را تایید نموده و شیفت مشاهده شده در سیگنال کربن ۸ بیانگر اتصال C- گلیکوزیدی می باشد. همچنین بررسی پیکهای موجود در محدوده ۸۰-۸۶ ppm و ۱۵۰-۱۵۶ ppm وجود دو قند گلوکز و رامنوز را در ساختمان گلیکوزید به اثبات می رساند. با توجه به اینکه پیک مربوط به C ۲<sup>۰</sup> گلوکز به میزان ۴ ppm به طرف میدان ضعیف تر و پیک C ۳<sup>۰</sup> آن حدود ۱ ppm به طرف میدان قوی تر جایجا شده است می توان نتیجه گرفت که محل اتصال بین قندها، کربن ۲<sup>۰</sup> گلوکز می باشد (۲۳-۲۱). بنابراین با توجه به یافته های مذکور برای ترکیب IV ساختمان ۲<sup>۰</sup>- رامنوزیل ویتکسین پیشنهاد می شود.

در طیف  $^1\text{H-NMR}$  ترکیب III یک پیک با انتگراسیون سه پروتون در ۹۶/۸1 ppm مشاهده میشود که مربوط به پروتونهای گروه استیل است. از طرف دیگر در طیف IR این جسم پیک موجود در ۱۷۲ Cm<sup>-۱</sup> مربوط به گروه کربونیل بوده و ماهیت استری آن را به اثبات می رساند. هیدرولیز ملایم جسم III سبب حذف گروه استیل و تبدیل آن به ترکیب IV می شود. با مراجعت به مقالات انتشار یافته در خصوص نحوه و میزان جایجا شی گروههای اسیل متصل به قندهای مختلف (۲۱) مشخص می گردد که گروه استیل به هیدروکسیل ۴<sup>۰</sup> رامنوز متصل بوده و بنابر این ساختمان آن ۴<sup>۰</sup> استیل - ۲<sup>۰</sup> رامنوزیل ویتکسین خواهد بود. ویتکسین رامنوزید (III) عمدۀ ترین ترکیب فاز بوتانولی برگها (گلهای) محسوب شده و به مقدار اندک در عصاره استاتات اتیلی وجود دارد.

آزمایشات فارماکولوژیک مختلف می توان اظهار داشت که تهیه فرآورده های داروئی استاندارد از گیاه کراتاگوس میه ری امکان پذیر می باشد.

تعیین مقدار فلاونوئیدهای تام به روش رنگ سنجی (۲۶) به عمل آمد و بر این اساس گلهای کراتاگوس میه ری دارای ۱/۱٪ فلاونوئید می باشد. لذا با توجه به نتایج بررسی های شیمیایی مذکور و

### References:

- ۱- ناظمیه حسین و افشار. جلیل بررسی ترکیبات پلی فنولیک *Crataegus curvisepala Lindman*, علوم داروئی, مجله دانشکده داروسازی تبریز, انتشارات دانشگاه علوم پزشکی تبریز, ۱۳۷۶, جلد ۴، شماره ۱، ص. ۴۵-۵۵.
- ۲- Ammon H.P. T and Handel M.; Crataegus, toxicology and pharmacology, Part 1. Toxicity., Plant. Med., 1981, 43(2), P 105-120.
- ۳- Ammon H.P.T and Handel M.; Crataegus, toxicology and pharmacology, Part 2. Pharmacodynamics., Planta Med., 1981, 43(2), P 209-239.
- ۴- Ammon H.P.T and Handel, M.; Crataegus, toxicology and pharmacology, Pharmacodynamics and Pharmacokinetics, Planta Med., 1981, 43(2), P 313-322.
- ۵- Occhiuto F., Circosta C., Costa R., Briguglio F., Tommasini A., Depsquele A.; Comparative cardiovascular activities of young leaves and flowers of Crataegus oxyacantha, II. effects of extracts and of isolated pure components on isolated rabbit heart., Plant Med. Phytother., 1986, 20(1), P 52-63.

- ۶- Costa R., Occhiuto F., Circosta C., Ragusa S., Busa G., Briguglio F.; Comparison of young shoots, leaves and flowers of *Crataegus oxyacantha* for cardiovascular activity. III. protective effect on isolated rat heart against arrhythmia-inducing agents and in reperfusion arrhythmias. Plant. Med. Phytother., 1986 20(2), P 115-128.
- ۷- Hanak T.H. and Bruckel M.H.; Treatment of mild stable forms of angina pectoris with a standardized Crataegus extract, Therapiwoshe, 1983, 33(34), 4331-4333.
- ۸- Iwamoto M., Ishizake T., Sato T.; Klinische Wirkung von Crataegutt bei Herzerkrankungen ischamischer und/oder Hypertensiver Genese, Planta. Med., 1981, 42(1), P 1-16.
- ۹- Thompson E.B., Aynilian G.H., Gora P., Farnsworth N.R.; Preliminary study of potential anti-arrhythmic effects of Crataegus monogyn, J. Pharm. Sci, 1974, 63, P 1936-1937.
- 10-Lievre M., Andrieu J.L., Baconin A.; Assessment in the anesthetized dog of the cardiovascular effects of a pure extract (hyperoside) from hawthorn., Ann. Pharm. Fr., 1985, 43(5), P 471-477.
- 11-Schuessler M., Fricke U., Holzl J., Nikolov N.; Effects of flavonoids from Crataegus species in Langendorff Perfused Isolated Guinea Pig Hearts, Planta Med., 1992, 58 (supple 1): P A646-A647.

- 12-Schuessler M., Holzl J., Frick U.; Myocardial effects of Flavonoids from Crataegus species, *Arzneimittel*, 1995, 45(8), P842-5.
- 13-Garjani A., Nazemiyeh H., Valizadeh H., Maleki N.; Effects of Extracts from flowering tops of Crataegus meyeri A. Pojark. On Ischaemic Arrhythmias in Anaesthetized Rats., *Phytotherapy Research*. 2000, 14, 428-431.
- 14-Garjani A., Nazemiyeh H., Maleki N., Afshar DJ.; Antiarrhythmic effects of Crataegus meyeri on ischaemic arrhythmias in rat, "XVIII" European section meeting of the International society for Heart research, 1997, Feb. 1-5, Versailles, France.
- 15-Mabry T.J., Markham K.R., Thomas M.B.; *The systematic Identification of Flavonoids*, Springer-verlage, New York, 1970, 37-61.
- 16-Markham K.R.; *Techniques of flavonoid identification*, Academic Press, London, 1982, 20-80.
- 17- Karting Th. and Wegschaider, O.; Eine möglichkeit zur Identifizierung von Zuckern aus kleinsten Mengen von Glykosiden oder aus Zuckergemischen, *J. Chromatogr.*, 1971, 61, 375-377.
- 18- Hillis W.E. and Horn H.S.; Nuclear Magnetic Resonanc spectra and structures of some c-Glycosylflavonoids, *Aust. J. Chem.*, 1965, 18, 531-42.
- 19- Markham K.R. and Geiger H., in *The flavonoids (Advances in research Since 1986)*, Harborne J.B. Ed.; chapt. 10, Chapman and Hall, London, 1994, 441-497.
- 20-Beitmaire E. and Coelter W.; *Carbon-13NMR Spectroscopy*, VCH, Weinheim, 1990, PP 450-6.
- 21-Maurice J., in *The flavonoids (Advances in research since 1986)*. Harborne J.B., Ed.; chapt. 3, Chapman and Hall , London, 1994, 57-93.
- 22-Nikolov N., Dellamonica G., Chopin J.,Di-C-Glycosyl flavones from Crataegus monogyna, *Phytochem.*, 1981, 20(12), 2780-2781.
- 23- Oelrichs P., Marshall J.T.B., Williams D., H.; 7-O- $\beta$ -D- Glucosyl-8-C- $\beta$ -D-glucosyl-4'-O-methylapigenin, A New Flavone from Trema aspera, *J. Chem. Soc. (C)*, 1968, 941-947.
- 24-Lamaison J.L. and carant A.; The amount of main flavonoids in flowers and leaves of Crataegus monogyna Jacq. and Crataegus laevigata (Poiret)DC. (Rosaceae), *Pharm. Acta. Helv.*, 1996, 65(11), 315-320.